



Měření šíření elektromagnetických vln v automobilech pro účely komunikace a lokalizace

Aleš Prokeš

Vysoké učení technické v Brně, Ústav radioelektroniky

Perspektivní oblast řešená v rámci projektu **GAČR: Výzkum bezdrátových kanálů pro komunikaci a určování polohy ve vozidlech** za podpory **Centra SIX**.

Cíle projektu:

1. *Měření a modelování komunikačních kanálů uvnitř vozidel pro aplikace WPAN, senzorových sítí a lokalizace objektů v 3.1 - 10.6 GHz UWB (Ultra-Wide Band) a 56 - 64 GHz MMW (MilliMeter Wave) pásmech.*
2. *Měření a modelování komunikačních kanálů uvnitř vozidel pro aplikace WPAN v 1550 nm IR (infra-red) pásmu.*
3. *Ověření a rozšíření existujících modelů MMW a UWB kanálů a vytvoření modelů IR kanálů, specifikace dosažitelných parametrů.*



Proč WPAN?

- *Přenos multimediálních dat v autech, autobusech, letadlech, atd.*
- *Připojení multimediálních systémů v sedadlech.*

Proč senzorové sítě

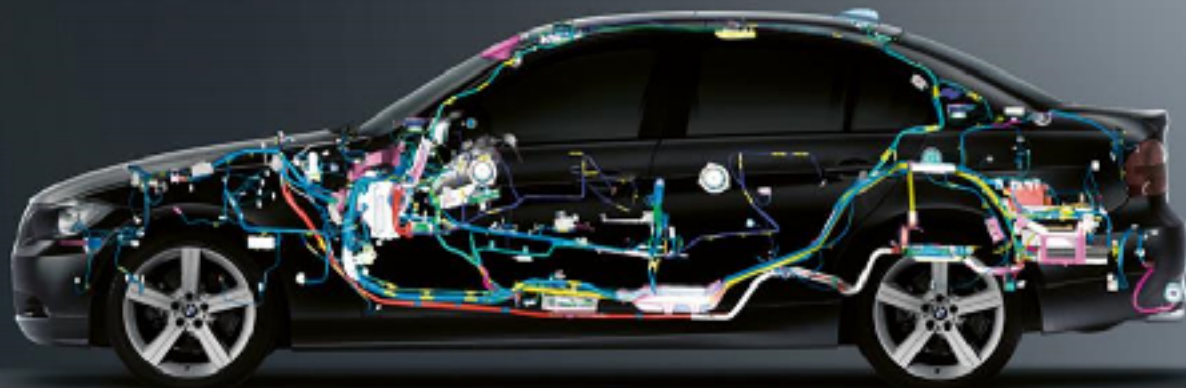
- *Bezdrátové propojení senzorů, akčních členů a řídících jednotek ECUs (Electronic Control Units) z důvodu vysoké hmotnosti a ceny vodičů a nemožnosti připojení některých senzorů (měření tlaku v pneumatikách).*

Proč lokalizace ve vozidlech?

- *Optimalizace vyzařovacího diagramu (redukce vyzařovaného výkonu) přístupového bodu podle polohy mobilních zařízení.*
- *Zabezpečení startu vozidla na základě lokalizace klíče.*

Elektrické rozvody jsou jednou z nejtěžších částí vozidla.

Měří až **3 km** a váží až **60 kg**



- WP1:** *Vytvoření měřicích pracovišť pro šíření MMW, UWB, a IR signálů ve vozidle.*
- WP2:** *Měření šíření EM vln ve vozidlech v časové a kmitočtové oblasti pro WLAN, senzorové sítě a lokalizaci.*
- WP3:** *Analýza a modelování MMW, UWB a IR kanálů pro účely komunikace ověření a zlepšení existujících modelů.*
- WP4:** *Analýza a modelování kanálů pro MMW, UWB pásmá pro účely lokalizace, vytvoření nových modelů.*
- WP5:** *Ověření použitelnosti MMW, UWB, a IR pásem pro dilčí aplikace a stanovení dosažitelných parametrů.*

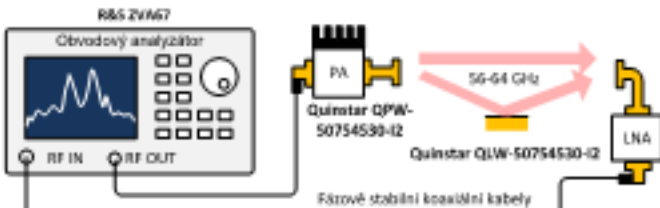
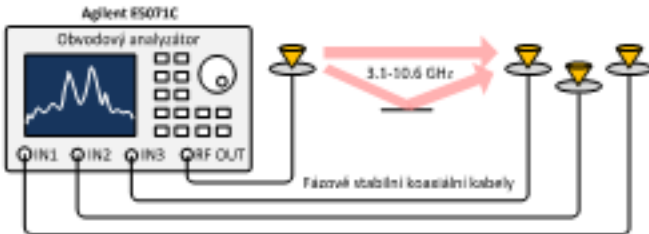
WP1: Vytvoření pracovišť pro měření šíření MMW, UWB, a IR signálů

Pracoviště pro měření v kmitočtové oblasti v UWB a MMW pásmech

Vlastnosti metody:

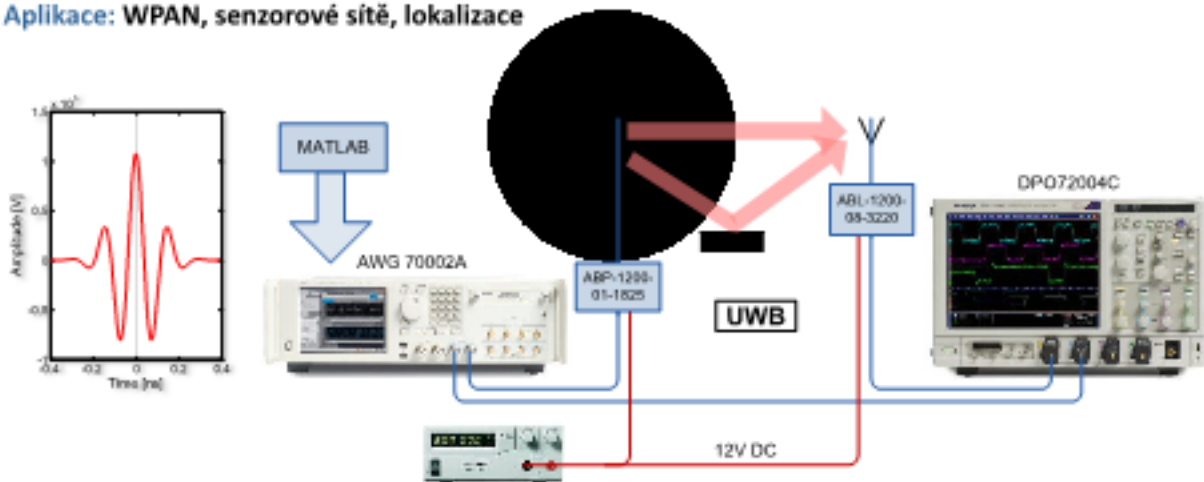
- Velký dynamický rozsah > 100 dB (RBW = 100Hz)
- Dlouhá doba měření cca desítky vteřin ($\Delta f = 1\text{MHz}$)

Aplikace: WPAN, senzorové sítě



Měření UWB kanálů v časové oblasti I

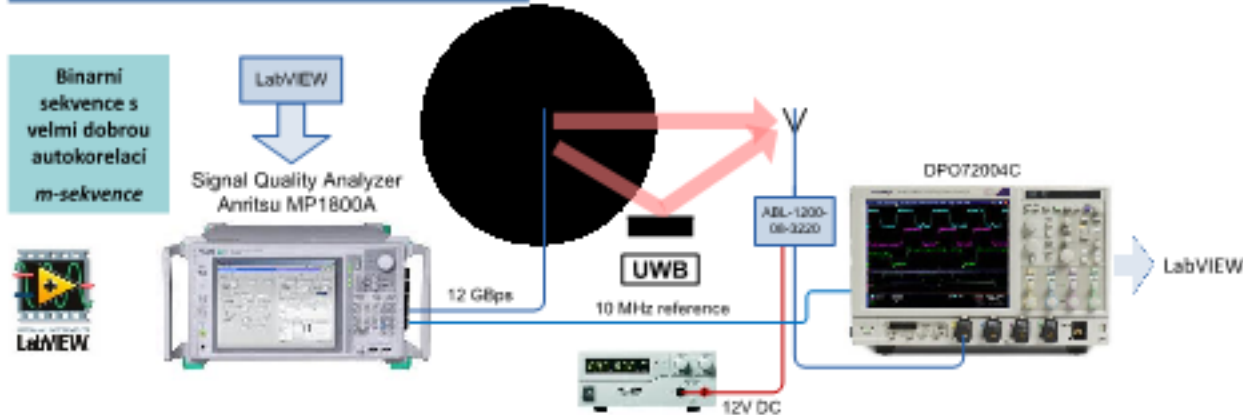
Aplikace: WPAN, senzorové sítě, lokalizace



Problémy:

- Malý dynamický rozsah (ENOB osciloskopu MSO72004C: $N_E = 5.5$ bitů \Rightarrow dynamický rozsah: $D_R = 6.02N_E + 1.76 = 34.9$ dB)
- Nutnost použití dekonvoluční techniky (CLEAN).

Měření UWB kanálů v časové oblasti II

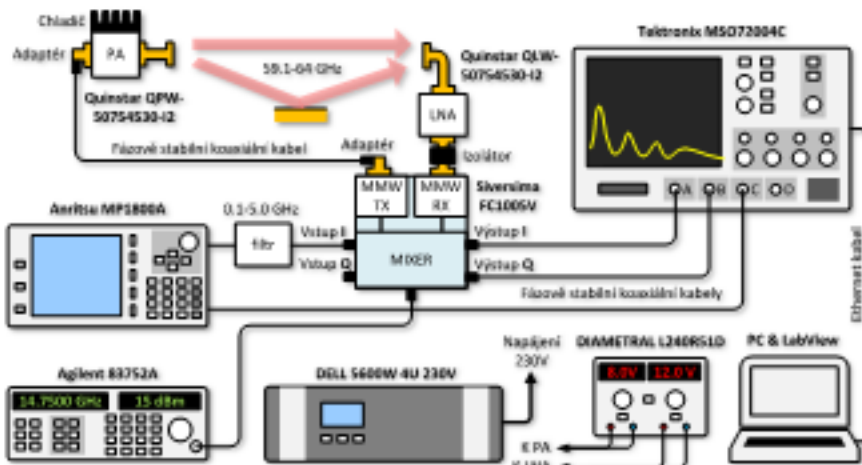


Výhody *m*-sekvencí (sekvencí z rodiny PRBS):

- Rovnoměrně rozložený výkon s nízkou špičkovou hodnotou (lze použít velký výstupní výkon bez rizika limitace)
- Vysoký *korelační zisk* zvyšující dynamický rozsah (2047 bitů \Rightarrow 66.2 dB zlepšení $\Rightarrow D_R = 101.1$ dB).

Problém: existence nelinearit snižující dynamický rozsah na cca 30-50 dB

Měření MMW kanálů v časové oblasti



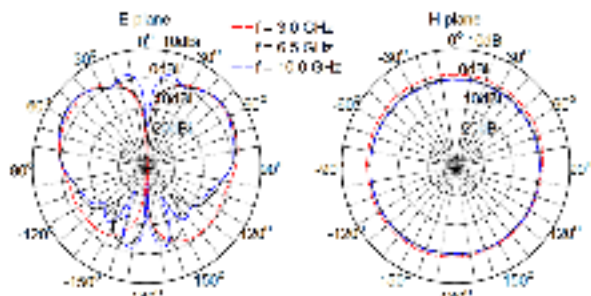
Parametry:

- Délka *m-sekvence*: 2047 bitů
- Rychlosť posloupnosti: 12.5 Gbit/s
- Počet uložených CIR (8300 Sa): 3800
- Doba měření: 3.8 s
- Korelační zisk 66 dB
- Šířka pásma 5 GHz

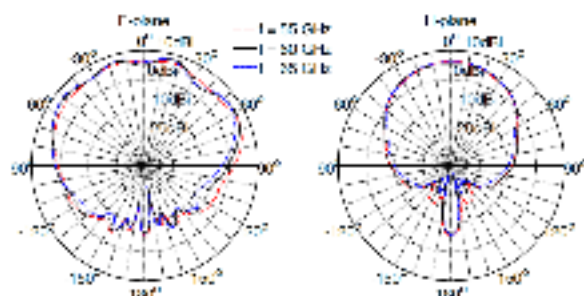
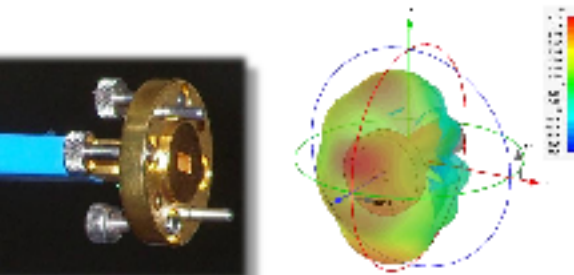
Problémy:

- Nestabilita přijímací části
- Kolísání skupinového zpoždění 1 ns/GHz (řešeno externím generátorem)

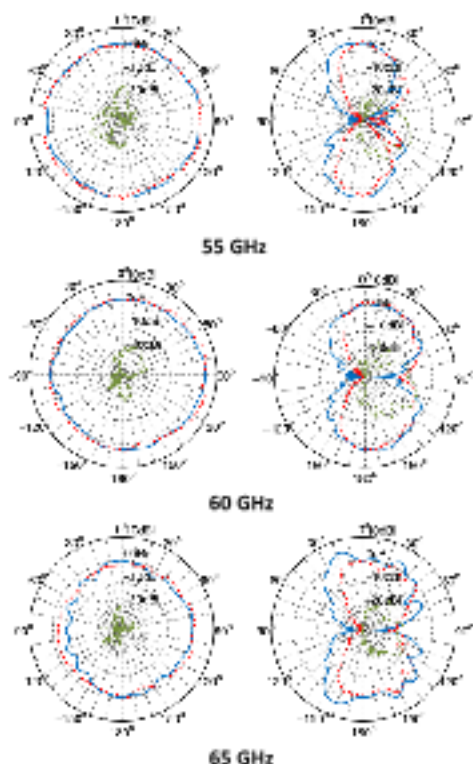
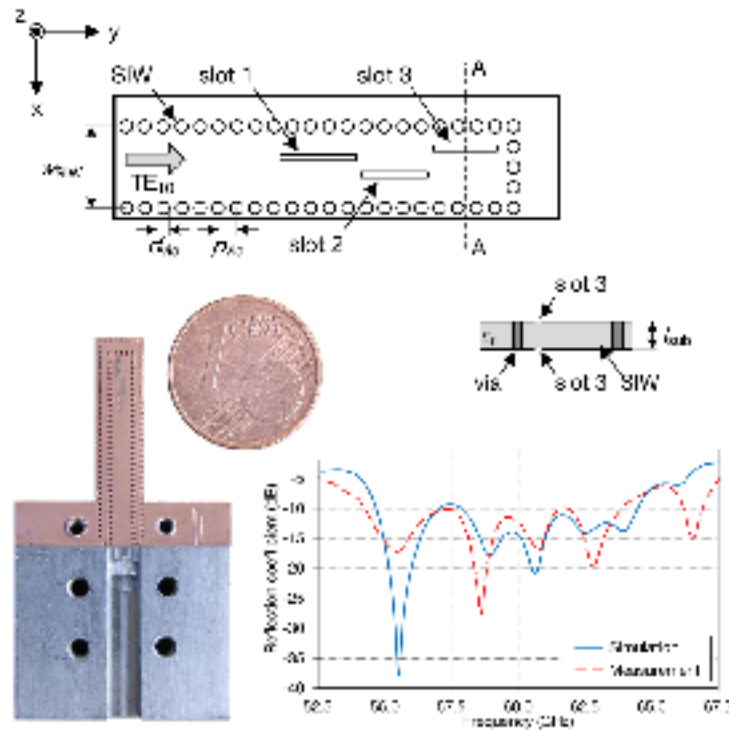
Monokónická UWB anténa



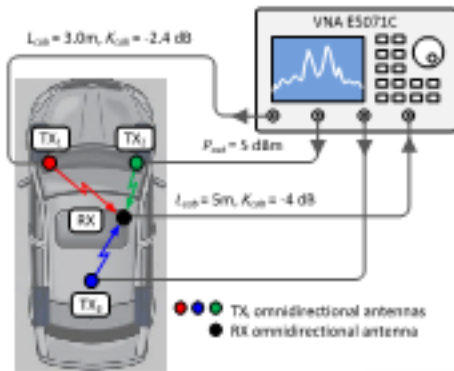
Příruba otevřeného vlnovodu



Pole štěrbinových antén



WP2: *Měření šíření EM vln ve vozidlech v časové a kmitočtové oblasti pro WLAN, senzorové sítě a lokalizaci.*



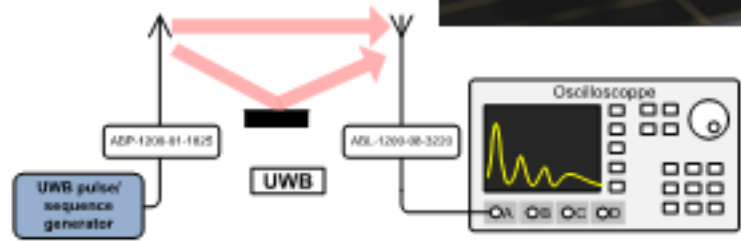
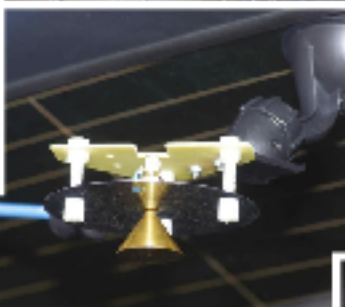
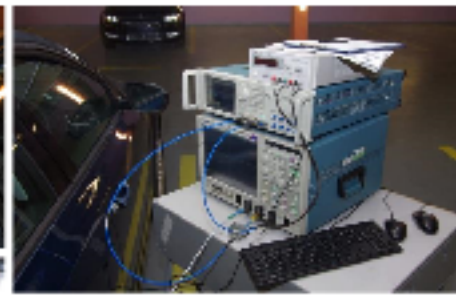
Měření v kmitočtové oblasti (FDM)



Měřicí kampaň UWB

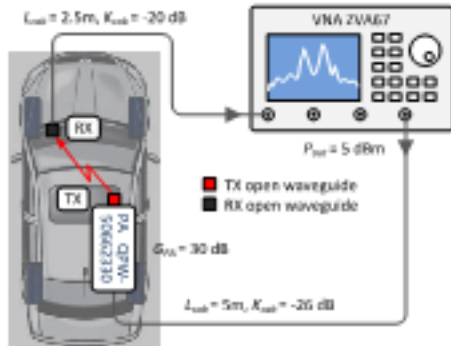
Radiokomunikace 2016

Měření v časové oblasti
(TDM)

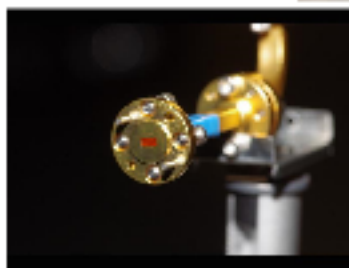
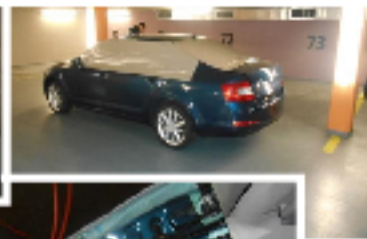


Měřicí kampaň MMW

Radiokomunikace 2016



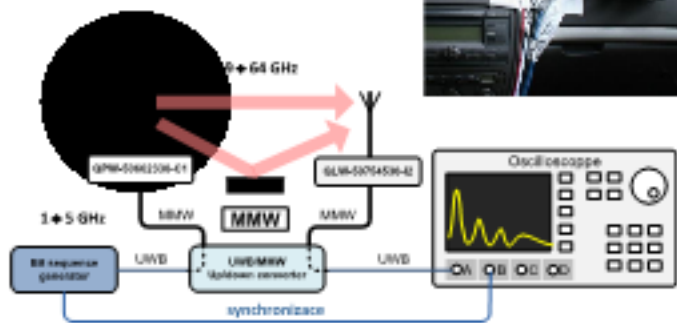
Měření v kmitočtové oblasti (FDM)



Měření v časové oblasti (TDM)



1. Měření vlivu vibrací způsobených běžícím motorem a hlasitě hrájícím audiosystémem, měření vlivu pohybu cestujících v zaparkovaném vozidle.
2. Měření vlivu vibrací a kroucení karoserie jedoucího automobilu na různých vozovkách při různých rychlostech.



Nečastější typy modelů:

- Energetický (útlumový) model – rozložení energie v prostoru nebo rovině formou map.
- Deterministický model v časové oblasti - analogie FIR filtru.
- Stochastický model v časové oblasti - stochastické vyjádření impulsní odezvy kanálu (CIR).
- Stochastický model v kmitočtové oblasti - stochastické vyjádření přenosové funkce (CTF) a následný převod do časové oblasti pomocí FFT.

Stochastické modely vždy směřují k vyjádření CIR nebo výkonového profilu zpoždění (PDP), kde jednotlivé parametry (přenos ρ_n , fáze přenosu Φ_n , doba šíření τ_n) mají náhodný charakter s určitým typem rozdělení hustoty pravděpodobnosti.

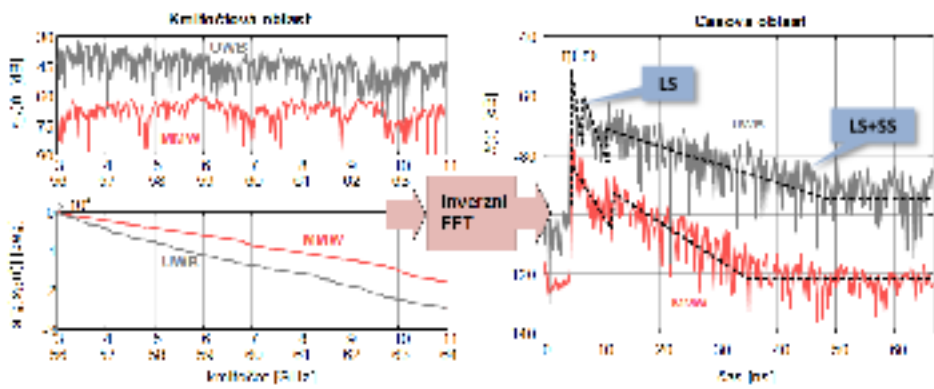
Známe-li CIR, můžeme vypočítat pomocí konvoluce odezvu na libovolný signál.

$$h(\tau) = \sum_{n=0}^{N-1} \rho_n e^{j\Phi_n} \delta(\tau - \tau_n),$$

CIR

WP3: *Analýza a modelování MMW, UWB a IR kanálů pro účely komunikace ověření a zlepšení existujících modelů.*

- Konverze **CTF** na **CIR** za použití IFFT a okna (Hamming, Blackman,...) a rozdělení odezvy na
 - Large-scale (LS) charakteristika kanálu: ztráty šířením, stínění, trend **CIR** nebo **trend PDP**.
 - Small-scale (SS) charakteristika kanálu: rychlé úniky PDP a CIR, RMS delay spread, maximum excess delay, inter-path arrival times, atd.

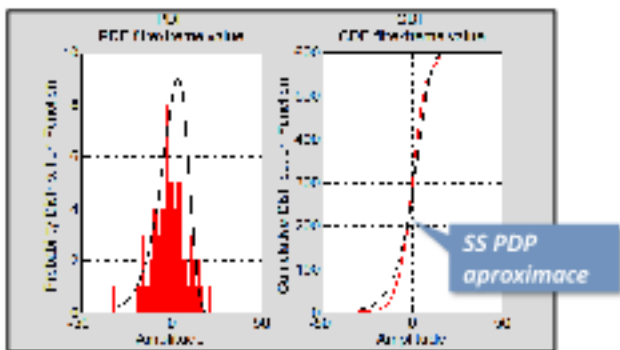
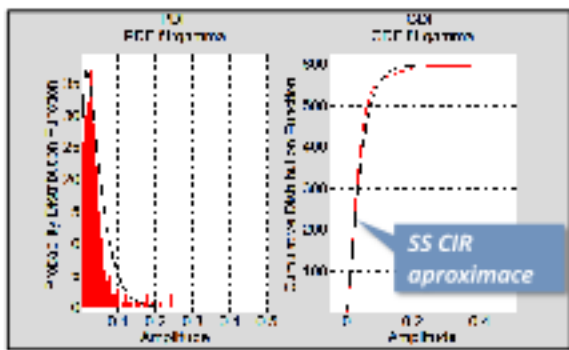
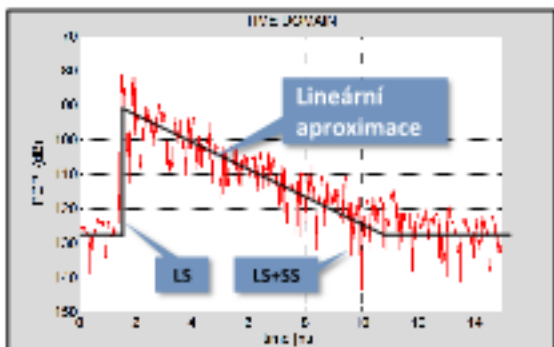


Útlum volného prostoru FSPL (Free-Space Path Loss)

$$FSPL = \left(\frac{4\pi d f}{c} \right)^2$$

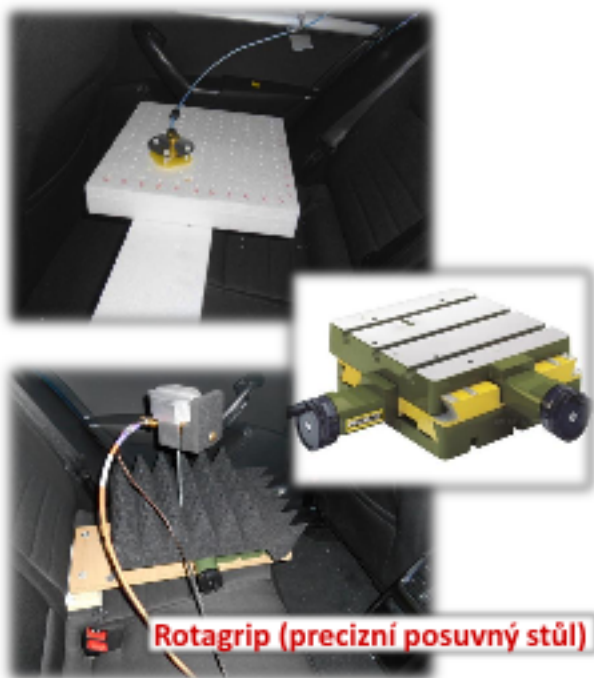
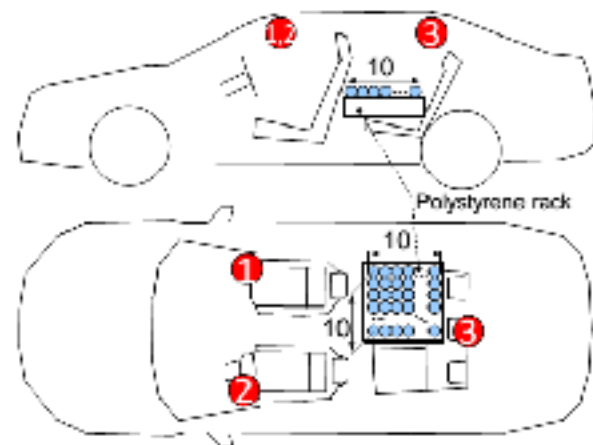
Aproximace CIR/PDP vhodným rozdělením

- Aproximace SS rychlých fluktuací vhodným rozdělením hustoty pravděpodobnosti (GEV, lognormální, Weibullovo, gama-gama, atd.)



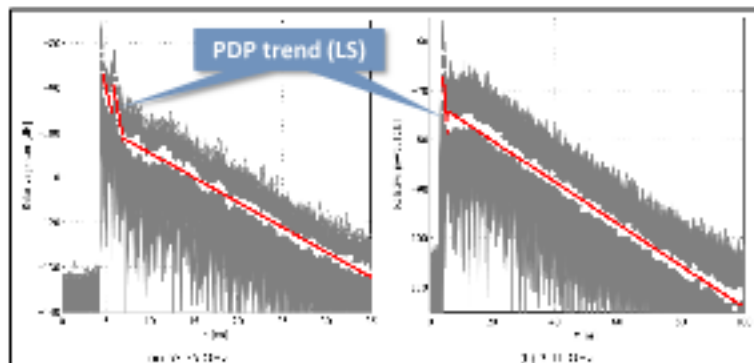
Porovnání prostorové stacionarity UWB a MMW pásem

Cíl: ověření vlivu malého posuvu antény na CIR a další parametry kanálů (použití držáků antén s rastrem 3/0.4 cm)



Rotagrip (precizní posuvný stůl)

Výpočet PDP pro MMW a UWB pásma a určení LS charakteristiky



Určení klastrů v příchozím signálu

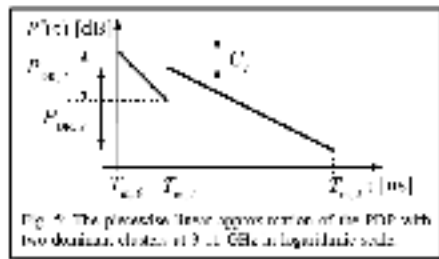


Fig. 6. The received linear approximation of the PDP with two domains, cluster at 9.11 GHz in logarithmic scale.

$$FSPL = \left(\frac{4\pi d f}{c} \right)^2$$

Pearsonův korelační koeficient

$$\rho^{\alpha} = \frac{E[(h^{\alpha}(n) - \mu^{\alpha})(h^{45}(n) - \mu^{45})]}{\sigma^{\alpha}\sigma^{45}},$$

Prostorové mapy a histogramy korelačního koeficientu

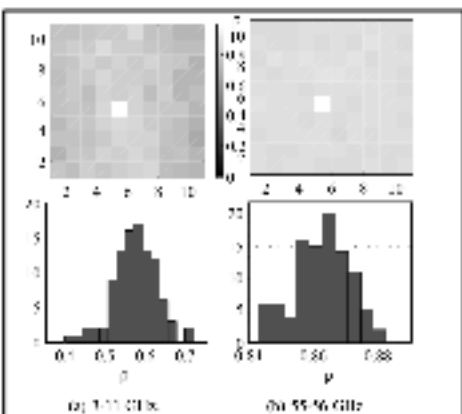
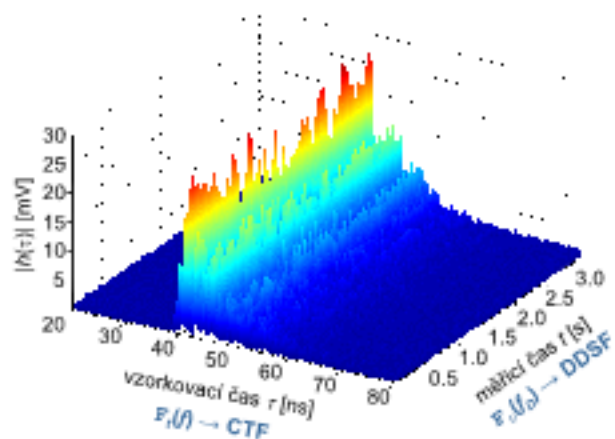


Fig. 7. Spatial maps and histograms of the calculated Pearson correlation coefficient ρ .

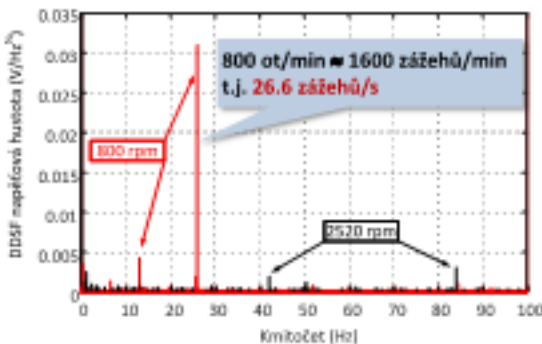
Modelování kanálů pomocí TDM

Radiokomunikace 2016

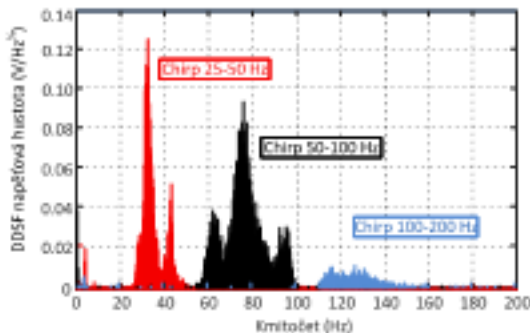
Příklad amplitud CIR pro jízdu auta po dálnici D1



Efekt běžícího motoru při různých otáčkách



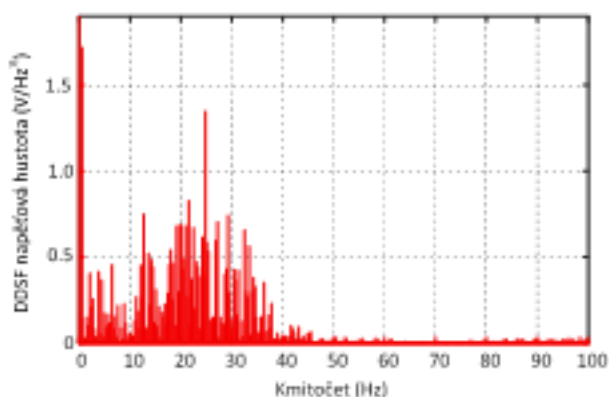
Amplitudy DDSF pro 3 rozmitané signály



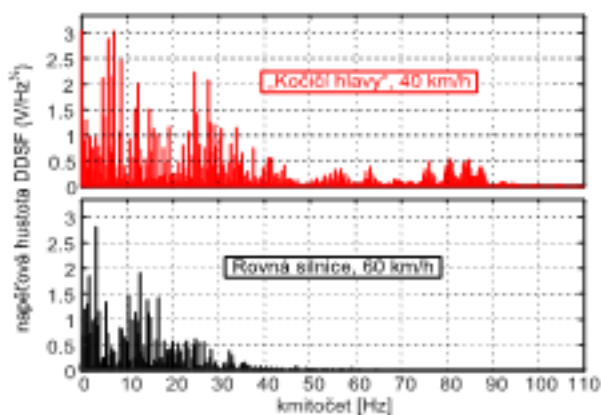
Delay-Doppler spreading function (DDSF)

$$S(t, f_n) = \int_{-\infty}^{\infty} h(t, \theta) e^{-i2\pi f_n \theta} d\theta$$

Vliv pohybu rukou a těla jednoho z pasažérů na DDSF



DDSF počítaná pro jízdu po dvou různě kvalitních vozovkách



- Významné spektrální komponenty do kmitočtu cca 45 Hz.
- Jev nutno brát v úvahu při měření v jedoucím vozidle.

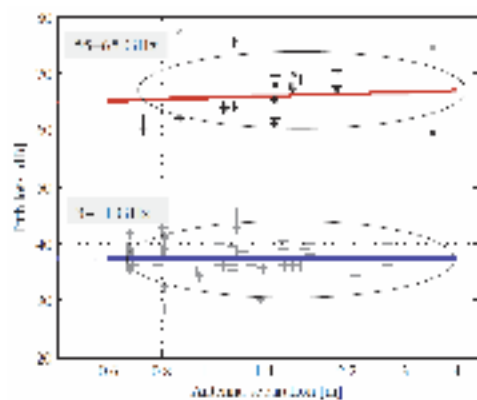
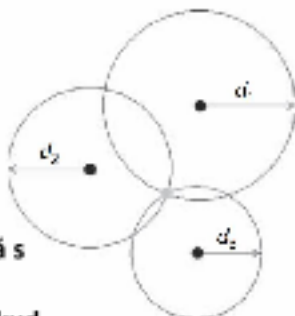
- **Nejednoznačné výsledky.** Stejný scénář (stejný povrch a rychlosť) dává rozdílné výsledky – zřejmě vliv pohybu pasažérů.
- Efekt jedoucího vozu je mnohem výraznější než efekt pouze běžícího motoru.

Metody určování polohy:

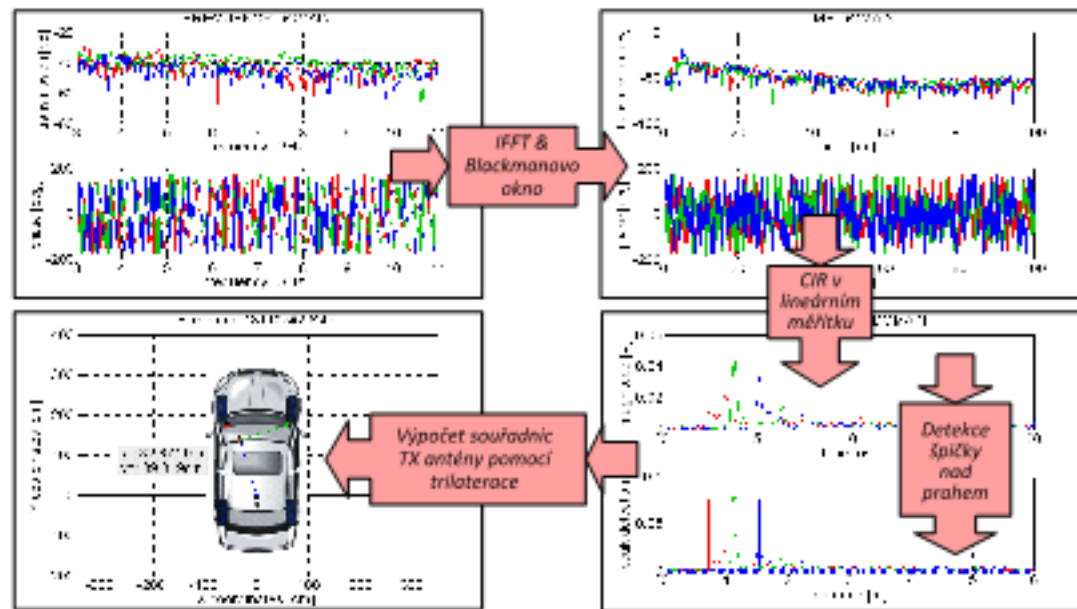
- Triangulace (vychází ze znalostí úhlů a pozic referenčních bodů)
- Trilaterace (vychází ze znalosti vzdáleností a pozic referenčních bodů)

Metody určování vzdálenosti:

- Vyhodnocení úrovně signálu RSS (*Received Signal Strength*) – použitelná s omezením jen při přímé viditelnosti
- **Vyhodnocení doby příchodu svazku TOA** (*Time Of Arrival*) – funkční i pokud není přímá viditelnost.



WP4: Analýza a modelování kanálů pro MMW, UWB pásmo pro účely lokalizace, vytvoření nových modelů



Porovnání přesnosti určování polohy v pásmech UWB a MMW

Pásмо UWB

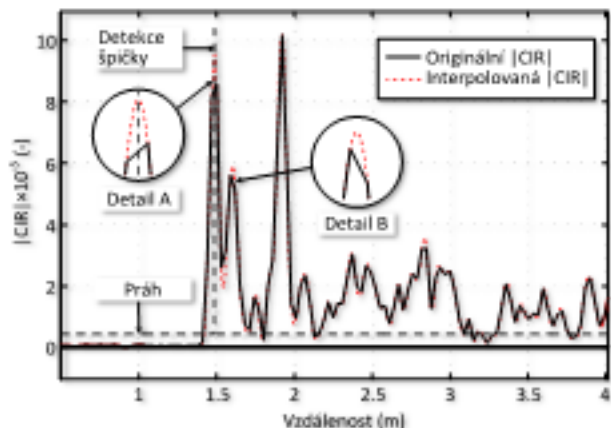
	Scénář	Interpolované UWB
Střední chyba (cm)	Bez pasažérů	1,44
	S pasažéry	2,26

	Scénář	Interpolované MMW
Střední chyba (cm)	Bez pasažérů	3,55
	S pasažéry	6,21

Pásmo MMW

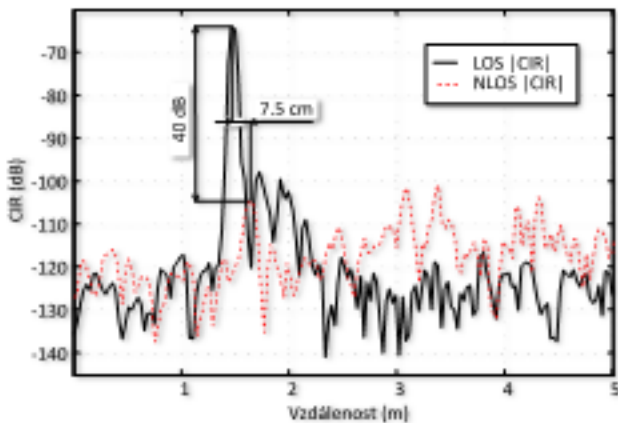
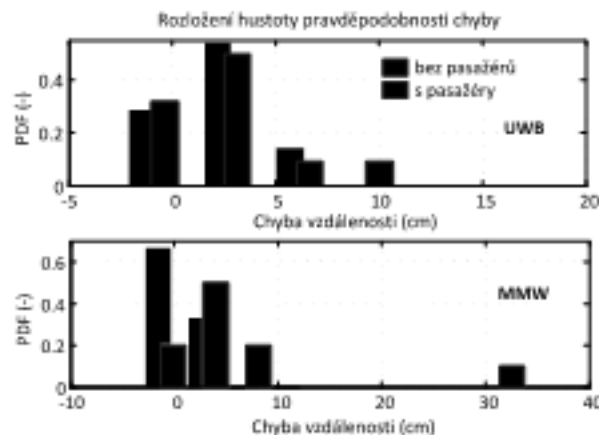
	Scénář	Interpolované MMW
Střední chyba (cm)	Bez pasažérů	0,78
	S pasažéry	6,57

	Scénář	Interpolované MMW
Střední odchylka (cm)	Bez pasažérů	2,01
	S pasažéry	9,77



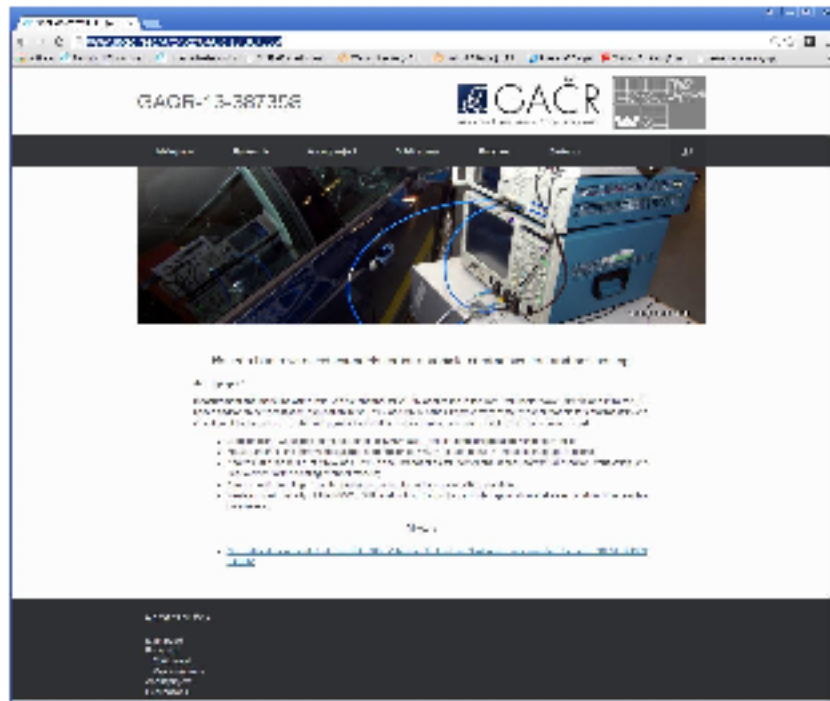
- UWB pásmo je mnohem citlivější na přítomnost osob ve vozidle

Vysvětlení odchylek pomocí referenčních měření ve stíněné bezodrazové komoře.



Scénář	UWB		MMW	
	Δt (dB)	ΔL (m)	Δt (dB)	ΔL (m)
Postava uprostřed	19	3.4	40	7.5
Sedadlo uprostřed	11.8	3.8	4.8	3.8
Sklo okna automobilu	7	1.3	7	1.8

<http://www.radio.feec.vutbr.cz/GACR-13-38735S/>



Děkuji za pozornost

prokes@feec.vutbr.cz